

大阪市立大学 正員 小林治俊
" " 園田惠一郎

1. まえがき 海洋波と構造物の相互作用についての研究は、これまで主として半没水体について行かれており多く見受けられるが、半没水以外の浮き構造物についての研究は数少く、Stoker¹⁾, Shimozuka・Wen²⁾による弾性梁、Wen³⁾による弾性矩形板、丹羽・等⁴⁾による任意形状剛性板に対する研究がわざかに見受けられるにすぎない。しかししながら、これらの研究はすべて単体に対するものであり、これらに用いられた解析法を連續形式の浮き構造に適用するには困難であるものと思われる。本研究は連續する剛性浮き板構造に付し伝達マトリックス法を用いた解析法を示すと共に、本解析法を浮き弾性構造解析へ応用するなどを試みたものである。

2. 連続浮板と速度ポテンシャル

本研究は、図1に示されている様に間隔板がそれ自身回転バネKで結合され、水底とは弾性バネによって保留された浮き板構造を考え、2次元平面波による周期応答解析を行う。水深は一定とし、波は shallow water theory に従うものとする。

(2.1) 浮板の存在しない領域(0), (N+1)での速度ポテンシャル

shallow water theory より速度ポテンシャルは、次式を満足する。 $\Psi_{xx} = \frac{1}{gh} \Psi_{tt}$, $x > 0$ or $x < 0 - l$ (l : 水深) t (時間) はより微分を意味する。g = 重力の加速度。h = 水深。

波は周波数 ω の調和波動であるから ポテンシャル $\Psi(x, t) = \Phi(x) e^{i\omega t} - (2)$ とおき (1) へ代入すると

$$\Psi_{xx} + \Phi_{xx}^2 / gh = 0, \quad = 0 \text{ を解く } \Phi(x) = C_1 e^{-isx} + C_2 e^{isx} - (3)$$

を得る。 $s = \omega / \sqrt{gh} = 2\pi/L$: L = 波長, $i = \sqrt{-1}$.

$x = 0$ では進行波の存在するので (3) 式より各領域のポテンシャルは次の様に決定される。

$$\Phi^{(0)}(x) = C e^{-isx} + R e^{-isx}, \quad x > 0, \quad \Phi^{(N+1)}(x) = T e^{isx} - (4)$$

$R =$ 入射波高, $|R|$ = 各波の反射率, 通過率を意味する。

(2.2) 浮板の存在する領域(1)～(N)での速度ポテンシャル

板の運動が図2に示されるが、微小運動と仮定すれば、図2を参照して記述すれば、 $\Psi(x, t) = \Psi^L e^{i\omega t} = (\Psi^L + \omega x) e^{i\omega t} - (5)$

ω = 板の回転角。板の存在する区间では、板と水面が密着しているものとすると、水面波形は $\eta = \text{常数}$ と見えるよう、速度ポテンシャル Ψ^L は $\Psi^L_t = -H \Psi^L_{xx} - (6)$ を満足する。H = $h - h'$, h' = 板の吃水長。(5), (6) 式を (5) 式へ代入し、得られた式を積分してやけば次式を得る。

$$\Psi^L = -\frac{i\omega}{H} \left(\Psi^L \frac{x^2}{2} + \omega \frac{x^3}{6} \right) + A x + B, \quad \Psi^L_x = -\frac{i\omega}{H} \left(\Psi^L x + \omega \frac{x^2}{2} \right) + A - (7)$$

$x = 0$ を代入し、 $A = \Psi^L_x$, $B = \Psi^L$ を得る。L は区间左端での値を意味する。

3. 伝達マトリックス法による解法

(3.1) 伝達マトリックスの説明 本節で、2. が求めた速度ポテンシャル、板に作用する格架ごとの力及び変位を未知量とし、伝達マトリックスを構成する。まず (5) (7) 式を $x = 0, -l$ を代入し、区间右端の値を R で示せば

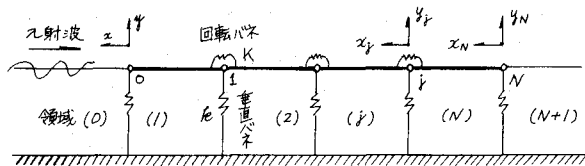


図1. 連続浮板構造と座標系

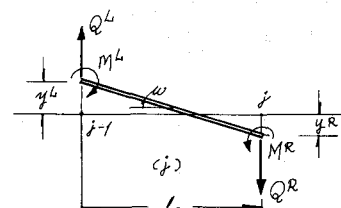


図2. j区間での板の運動

$q^R = q^L + \beta_1 q_x^L + \delta_1 y^L + \delta_1 w$, $y_{,x}^R = y_{,x}^L + \beta_2 y^L + \delta_2 w$, $y^R = y^L + \delta_3 w$ — (8) を得る。次に板に作用する水压: $p = -\rho g \eta$ (ρ : 水の密度) を用い、板の①垂直運動 ②回転運動式を求めれば次式を得る。

$$M^R = \alpha_5 q^L + \beta_5 q_{,x}^L + \delta_5 y^L + \delta_5 w + M^L + \beta_5 Q^L, \quad Q^R = \alpha_6 q^L + \beta_6 q_{,x}^L + \delta_6 y^L + \delta_6 w + Q^L — (9)$$

又 $w^R = w^L = w$ だから、(8)~(9)を縦めて $V^R = F V^L$ — (10) : 状態ベクトル $V = \{q, q_{,x}, y, w, M, Q\}$ — (11)

伝達マトリックス F (6×6) の内容は (12) 式であり、 $\alpha \sim \delta$ の値は (13) 式で与えられる。 $m = \text{板の長さ}$ の質量。

$$F = \begin{bmatrix} 1 & \beta_1 & \delta_1 & 0 & 0 & 0 \\ 0 & 1 & \delta_2 & 0 & 0 & 0 \\ 0 & 0 & 1 & \delta_3 & 0 & 0 \\ 0 & 0 & 0 & 1 & 0 & 0 \\ \alpha_5 & \beta_5 & \delta_5 & \delta_5 & 1 & \beta_5 \\ \alpha_6 & \beta_6 & \delta_6 & \delta_6 & 0 & 1 \end{bmatrix} — (12)$$

$$\left. \begin{aligned} \alpha_5 &= i \omega l^2 / 2, \quad \alpha_6 = i \omega l, \quad \beta_1 = -l, \quad \beta_5 = -i \omega l^3 / 6, \\ \beta_6 &= -i \omega l^2 / 2, \quad \delta_1 = -i \omega l^2 / 2H, \quad \delta_2 = i \omega l / H \\ \delta_5 &= \rho \omega^2 l^4 / 24H + \rho g l^3 / 2 - m \omega^2 l^3 / 2H, \quad \delta_6 = \rho \omega^2 l^3 / 6H + \rho g l - m \omega^2 \\ \delta_1 &= i \omega l^3 / 6H, \quad \delta_2 = -i \omega l^2 / 2H, \quad \delta_3 = -l \\ \delta_5 &= -g \omega^2 l^5 / 120H - g \omega l^3 / 6 + m \omega^2 l^3 / 2 \\ \delta_6 &= -g \omega^2 l^4 / 24H - g \omega l^3 / 2 + m \omega^2 l^3 / 2, \quad \beta_5 = l \end{aligned} \right\} — (13)$$

(3.2) 格子点での移行条件

格子点では、垂直バネ、回転バネによる重直力と回転角に
飛躍量があり、更に波のエネルギー保存則により速度ボテン
シャルにも飛躍条件が存在するので移行条件は、

$$(1) \text{重直力のつり合ひ: } Q_{j+1}^L = Q_j^R + k_j y_j^R$$

$$(2) \text{E-x-t - 回転角関係: } \omega_{j+1}^L = \omega_j^R - M_{j+1}^L / K_j$$

$$(3) \text{波のエネルギー保存則: } H_j y_{,x}^{(3)R} = H_{j+1} y_{,x}^{(3+)L}$$

$$(4) \text{波の質量保存則: } \bar{w}_{,t}^{(3)} = \bar{w}_{,t}^{(3+)}, \quad (5) \quad y; M \text{ の連続}$$

$$z = z \text{ を縦めて式で表せば。} \quad V_{j+1}^L = P_j V_j^R — (14)$$

$$z = z P_j (6 \times 6) \text{ はポイントマトリックス: 式(15)であり, (10), (14)式を組合せ, } V_{j+1}^L = P_j P_{j-1} F_{j-1} \cdots P_1 F_1 V_1^L — (16)$$

(3.3) 連続端板の最左・右端・境界条件 連続端板の力学条件の他に、波の質量、エネルギー保存則が成り立
たなければならない。すなは $x=0$ で $\bar{w}_{,t}^{(0)} = \bar{w}_{,t}^{(1)}$, $\bar{w}_{,x}^{(0)} = H_1 \bar{w}_{,x}^{(1)}$, $M_1^L = 0$, $Q_1^L = k_0 y_1^L$ — (17)

$z_N=0$ で $\bar{w}_{,t}^{(N)} = \bar{w}_{,t}^{(N+1)}$, $H_N \bar{w}_{,x}^{(N)} = H_{N+1} \bar{w}_{,x}^{(N+1)}$, $M_N^R = 0$, $Q_N^R = -k_N y_N^R$ — (18) となり, $=$ は R は未知量 R , T が
加わり、荷重項と左の入射波高 C が与えられると $=$ となる。従って (11) 式の状態ベクトル $V = \{R, T, q, y_{,x}, y, w, M, Q, 1\}$ と修正し、 $F, P \in (9 \times 9)$ のマトリックスを構成すれば計算が容易である。
以下省略する。
(17)(18)式を境界マトリックス: 最左端 Ω (9×5), 最右端 Ω' (4×9) 初期ベクトル $A = \{T, R, q, w, 1\}$ により書き改めれば $V^L = \Omega A_1^L$, $\Omega' V^R = 0$ — (19) となるから、(16) 式を用いて解くこととする。本
解法は次の式より得られ4元連立方程式を解くこととする。

4. 数値計算例

拘束バネ無し ($k=0, k=0$) 3枚端板を考える。
 $C=1 \text{ ft}^2/\text{sec}$, $L=8 \text{ ft}$, $h=1 \text{ ft}$, $\omega=4.46 \text{ rad/sec}$, 板長
は全て同じで $l=6 \text{ ft}$ とした時の板全体の変位を示す。

5. 参考文献

- 1) Stoker, J.J: Water Waves, Interscience, 1957
- 2) Shinozuka & Wen: ASCE, Vol. 98, No. WW2, 1972
- 3) Wen, Y.K: ASCE, Vol. 100, No. EM2, 1972
- 4) 丹羽, 等: 第50回講演会, II-66

